

Projeto 3: Espaço de Estados

Aluno: Deivid da Silva Galvão RA: 2408740
Aluno: João Vitor Levorato De Souza R.A: 2419890
Aluno: João Vitor N. Yoshida RA: 2419904
Aluno: Thiago Berto Minson, RA: 2270412
Professor orientador: Adalberto Zanatta Neder Lazarini

UTFPR
Engenharia de Computação
Controle Digital

Projeto 3: Espaço de Estados

Relatório do Trabalho Prático Disciplinar apresentado como requisito parcial à obtenção de nota na disciplina de Controle Digital do Curso Superior de Engenharia de Computação da Universidade Tecnológica Federal do Paraná.

Aluno: Deivid da Silva Galvão RA: 2408740

Aluno: João Vitor Levorato De Souza R.A: 2419890

Aluno: João Vitor N. Yoshida RA: 2419904

Aluno: Thiago Berto Minson, RA: 2270412

Professor orientador: Adalberto Zanatta Neder Lazarini

Fevereiro
2025

Conteúdo

1	Introdução	1
2	Implementação	2
2.1	Verificação de Controlabilidade	2
2.2	Parte 1: Controle por regulação	3
2.3	Parte 2: Controle por rastreo	5
2.4	Código Matlab	6
2.5	Simulink	9
3	Conclusão	9

1 Introdução

No projeto 3, vamos aplicar os conceitos aprendidos anteriormente para modelar um sistema de controle para um motor de corrente contínua utilizando a teoria de espaço de estados. O sistema será representado pelo seguinte esquema:

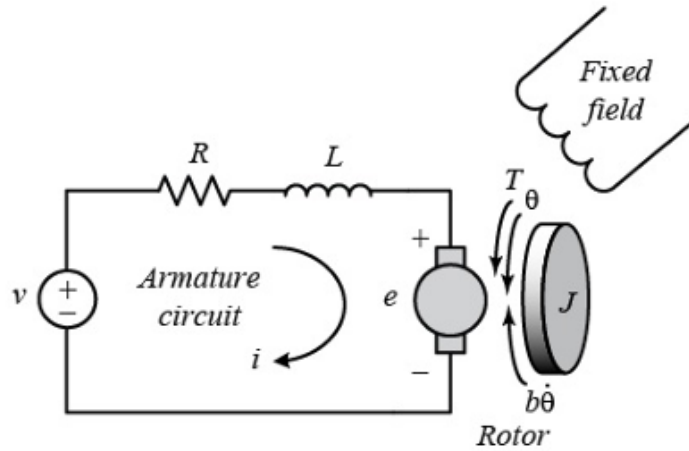


Figura 1: Esquemático do Motro CC

Descrito pelo modelo de espaço de estados da Equação:

$$x(t) = \begin{bmatrix} -\frac{b}{J} & \frac{K_t}{J} \\ -\frac{K_g}{L} & -\frac{R_a}{L} \end{bmatrix} \begin{bmatrix} \omega(t) \\ ia(t) \end{bmatrix} + \begin{bmatrix} 0 \\ \frac{1}{L} \end{bmatrix} u(t) \quad (1)$$

sendo

- **Ra**: Resistência da armadura
- **La**: Indutância da armadura
- **Kt**: Constante de torque do motor
- **Kg**: Constante de força contra-eletromotriz
- **b**: Coeficiente de atrito viscoso
- **J**: Momento de inércia do motor
- **ia** Corrente de armadura
- ω : Velocidade do motor

Para este projeto, utilizaremos os seguintes valores $J = 0,2 \text{ kg}\cdot\text{m}^2$, $b = 0,7 \text{ N}\cdot\text{m}\cdot\text{s}$, $K_g = 0,4 \text{ V}/(\text{rad/s})$, $K_t = 0,1 \text{ N}\cdot\text{m}/\text{A}$, $R_a = 10\Omega$, $L_a = 1\text{H}$

2 Implementação

2.1 Verificação de Controlabilidade

Um sistema dinâmico de espaço de estados é composto por quatro matrizes ou vetores principais. No âmbito deste projeto, temos a matriz de parâmetros do sistema "A", que está relacionada com o vetor de estados. Os outros três vetores de parâmetros do sistema são "B", "C" e "D". O vetor "B" está relacionado com o sinal de entrada, o vetor "C" com o vetor de estados no sinal de saída e o vetor "D" com o sinal de entrada no sinal de saída.

Dessa forma, as equações assumem o seguinte formato:

$$\dot{x}(t) = Ax(t) + Bu(t)$$

$$y(t) = Cx(t) + Du(t)$$

As matrizes A e B são definidas pelo modelo de espaço de estados do sistema controlado. A matriz C especifica a saída de interesse, enquanto D é zero, pois a alimentação direta não se aplica ao projeto. Substituindo os valores nas matrizes, temos:

$$A = \begin{bmatrix} -\frac{b}{J} & \frac{K_t}{J} \\ -\frac{K_g}{L} & -\frac{R_a}{L} \end{bmatrix} = \begin{bmatrix} -\frac{0,7}{0,2} & \frac{0,1}{0,2} \\ -\frac{0,4}{1} & -\frac{10}{1} \end{bmatrix} = \begin{bmatrix} -3,5 & 0,5 \\ -0,4 & -10 \end{bmatrix}$$

$$B = \begin{bmatrix} 0 \\ \frac{1}{L} \end{bmatrix} = \begin{bmatrix} 0 \\ \frac{1}{1} \end{bmatrix} = \begin{bmatrix} 0 \\ 1 \end{bmatrix}$$

$$C = \begin{bmatrix} 1 & 0 \end{bmatrix}$$

$$D = 0$$

Antes de definir os sistemas de controle, é preciso verificar a controlabilidade do sistema. No Matlab, isso é feito com o comando "ctrb", que recebe as matrizes A e B e retorna a matriz de controlabilidade, mostrada a seguir:

$$\text{ctrb}(A, B) = \begin{bmatrix} 0 & 0,5 \\ 1 & -10 \end{bmatrix}$$

Para verificar a controlabilidade do sistema, é necessário avaliar se a matriz de controlabilidade é invertível. Isso é feito calculando seu determinante: se for zero, a matriz não é invertível e o sistema não é controlável. Assim, ao calcular o determinante da matriz de controlabilidade do sistema em análise, obtemos:

$$\det(\text{ctrb}(A, B)) = \det \begin{bmatrix} 0 & 0,5 \\ 1 & -10 \end{bmatrix} = (0 * (-10)) - (0,5 * 1) = -0,5$$

Como o determinante resultou em -0,5, pode-se concluir que a matriz pode ser invertível e portanto o sistema pode ser controlado.

2.2 Parte 1: Controle por regulação

Inicialmente, foi feito o *plot* da resposta do sistema a uma entrada degrau e impulso, com o intuito de ter uma compreensão inicial do comportamento do sistema. A seguir, são apresentados os gráficos correspondentes, nas Figuras 2 e 3.

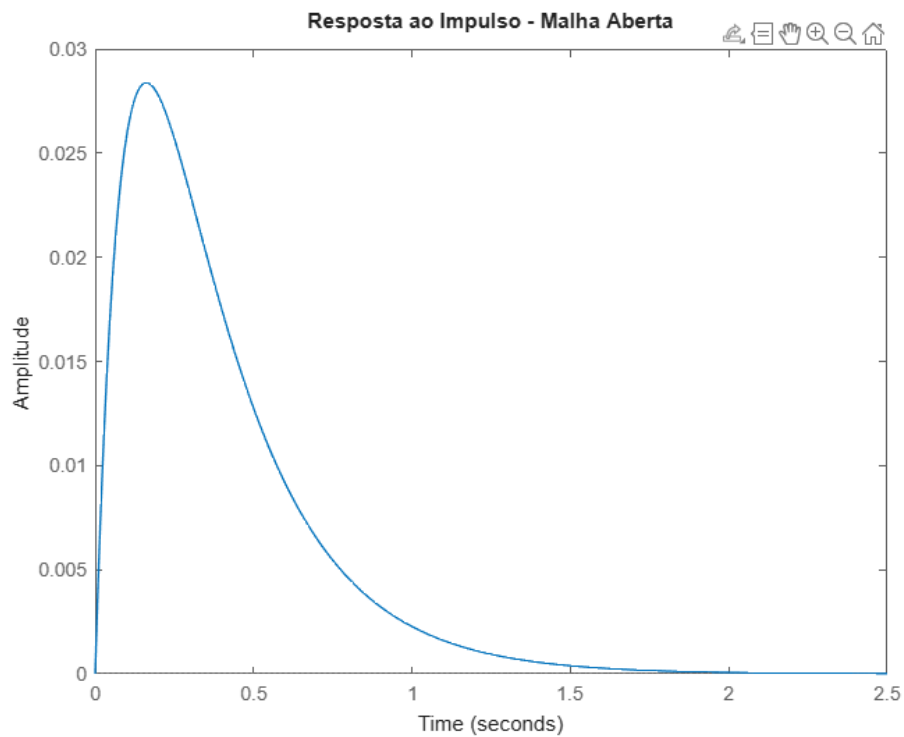


Figura 2: Resposta ao Impulso

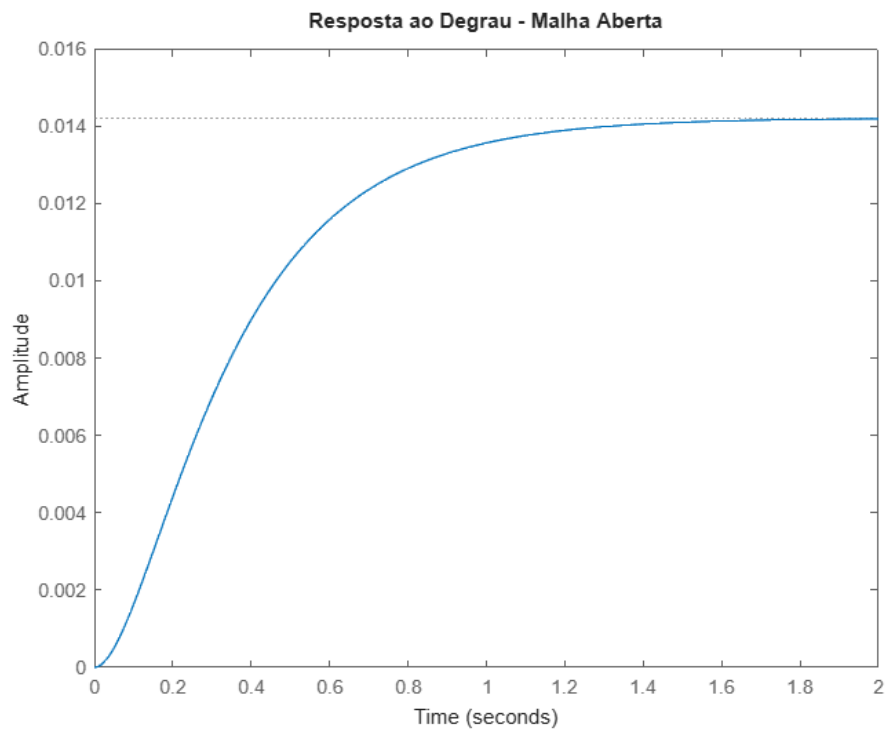


Figura 3: Resposta ao Degrau

As respostas para ambas as entradas não são as esperadas. Na entrada degrau, o valor final é baixo, assim como o valor máximo na entrada impulso, ambos na ordem de 10^{-2} . Isso indica a necessidade de regulação para melhorar as respostas. Para isso, utiliza-se a função 'place' do Matlab, que recebe as matrizes A e B e dois polos (um para cada estado). Os polos escolhidos foram -5 e -6. Atendendo aos requisitos do projeto, o sistema é simulado para condições iniciais $[105 \ 0]$ e uma entrada degrau unitário com valor final 105. As simulações mostram que, para diferentes ganhos, o comportamento do sistema varia significativamente, possivelmente devido à influência dos polos nos ganhos e no erro de regime permanente. A seguir, são apresentadas as respostas do sistema com condições iniciais $[105 \ 0]$ para uma entrada degrau unitário (Figuras 4 e 5).

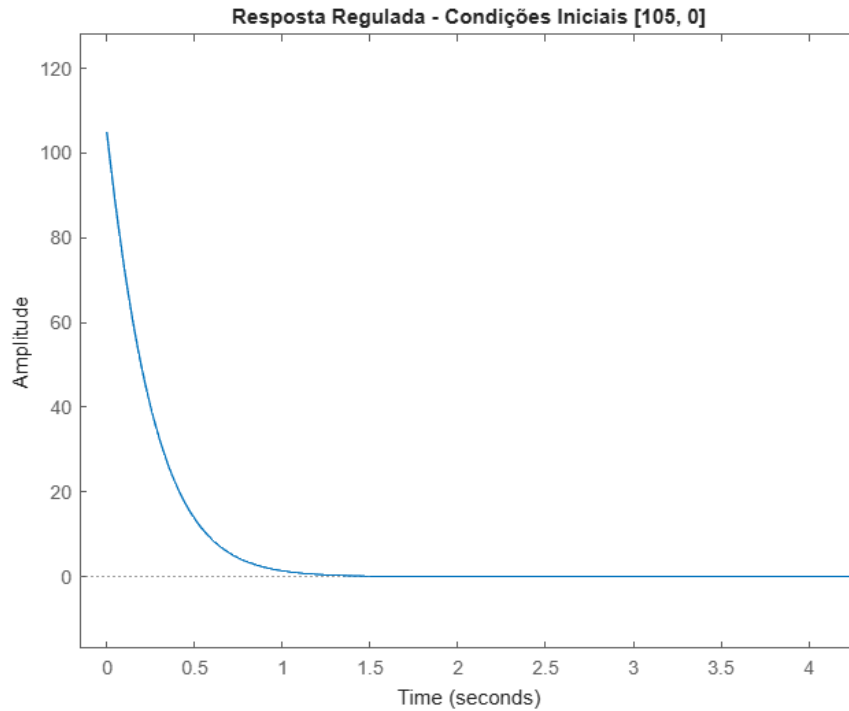


Figura 4: Condições iniciais

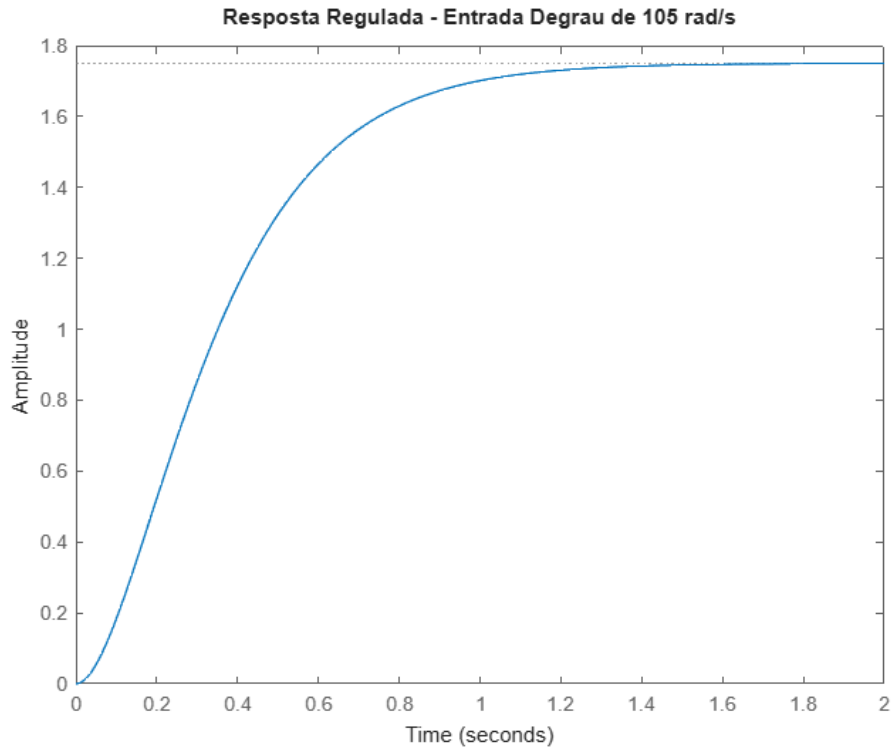


Figura 5: entrada degrau unitário de valor final 105

2.3 Parte 2: Controle por rastreo

Analizando as respostas do sistema regulado, percebe-se que o erro em regime permanente é predominante. Para corrigi-lo, utiliza-se um integrador, cuja função é eliminá-lo. Esse integrador recebe um ganho h e é alimentado pela diferença entre a entrada e a saída do sistema. Após a integração, o resultado é ajustado pela realimentação dos ganhos. Para calcular os ganhos k_1 , k_2 e h , considera-se a seguinte matriz:

$$P = \begin{bmatrix} A - Bk & Bh \\ -C & 0 \end{bmatrix}$$

Os autovalores são calculados, resultando em três equações que são igualadas a três polos escolhidos. A resolução desse sistema fornece os valores dos ganhos k_1 , k_2 e h .

Os polos selecionados (-10 , -15 e -20) garantem uma resposta rápida, atendendo aos requisitos do projeto (tempo de estabelecimento menor que 0.8s e sem *overshoot*). A seguir, são apresentadas as respostas do sistema para uma entrada degrau com valor final 105 rad/s (Figura 6) e para uma entrada de onda quadrada (Figura 7), permitindo comparação com o sistema regulado.

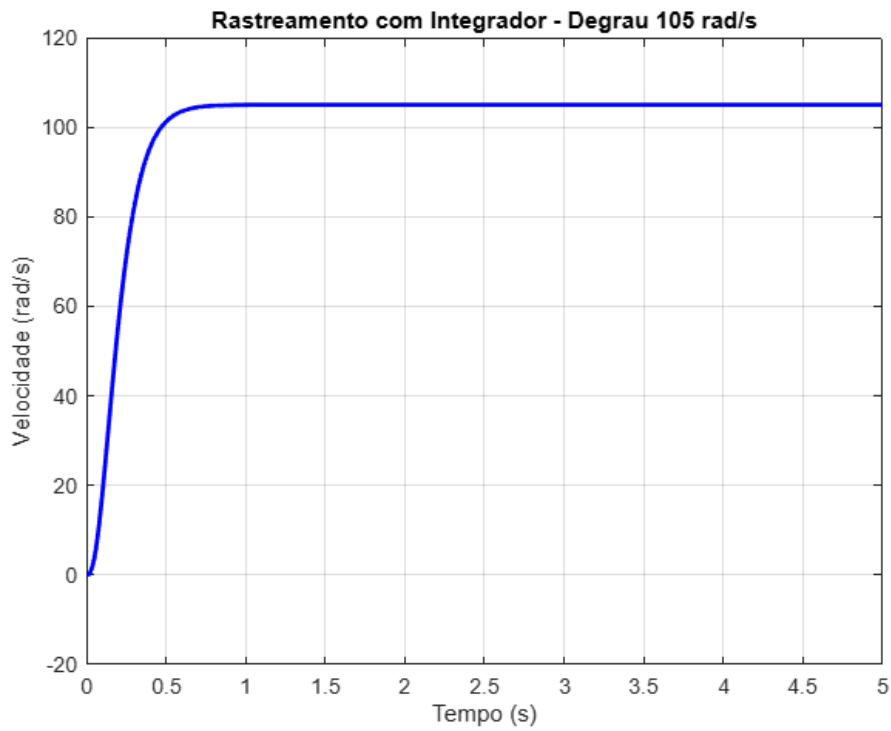


Figura 6: Resposta Entrada Degrau de 105 rad/s

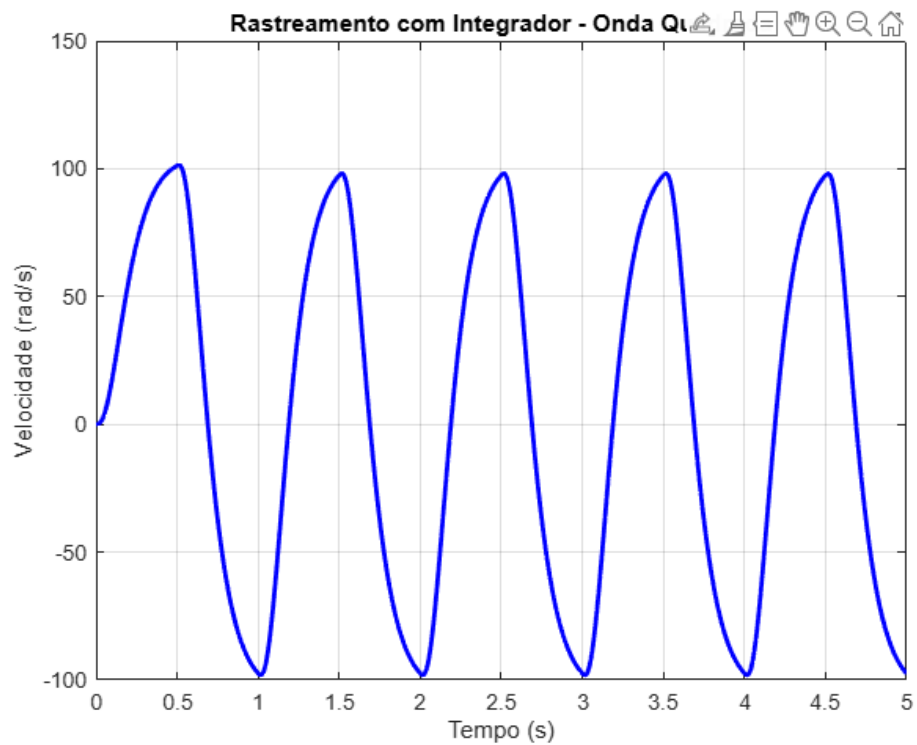


Figura 7: Resposta Entrada Senoidal (Onda Quadrada)

2.4 Código Matlab

```
1 Alunos :
2 Deivid da Silva Galvao RA: 2408740
```

```

3 Joao Vitor Levorato De Souza R.A: 2419890
4 Joao Vitor N. Yoshida RA: 2419904
5 Thiago Berto Minson, RA: 2270412
6 %% Projeto Controle Digital - Espaco de Estados
7 % Resolucao completa do projeto fornecido
8
9 %% 1. Definicao das matrizes do sistema
10 J = 0.2; % Momento de inercia (kg.m^2)
11 b = 0.7; % Coeficiente de atrito viscoso (N.m.s)
12 Kg = 0.4; % Constante de forza contra-eletromotriz (V/rad/s)
13 Kt = 0.1; % Constante de torque do motor (N.m/A)
14 Ra = 10; % Resistencia da armadura (Ohm)
15 L = 1; % Indutancia da armadura (H)
16
17 A = [-b/J Kt/J; -Kg/L -Ra/L]
18 B = [0; 1/L]
19 C = [1 0];
20 D = 0;
21
22 %% 2. Verificacao da controlabilidade
23 Co = ctrb(A, B)
24 determinante_Co = det(Co)
25 controlavel = rank(Co) == size(A,1);
26
27 %% 3. Resposta em malha aberta
28 sys_open = ss(A, B, C, D);
29 figure;
30 impulse(sys_open);
31 title('Resposta ao Impulso - Malha Aberta');
32 figure;
33 step(sys_open);
34 title('Resposta ao Degrau - Malha Aberta');
35
36 %% 4. Controlador por Regulacao
37 p_reg = [-5 -6]; % Polos escolhidos
38 K_reg = place(A, B, p_reg);
39 A_cl_reg = A - B*K_reg;
40 sys_cl_reg = ss(A_cl_reg, B, C, D);
41
42 % Resposta para condicoes iniciais [105 0]
43 figure;
44 initial(sys_cl_reg, [105; 0]);
45 title('Resposta Regulada - Condicoes Iniciais [105, 0]');
46
47 % Resposta para entrada degrau de 105 rad/s
48 figure;
49 step(105 * sys_cl_reg);
50 title('Resposta Regulada - Entrada Degrau de 105 rad/s');
51
52 %% 5. Controlador por Rastreamento

```

```

53 % Especificacao para alocao de polos:
54 % Para um tempo de estabelecimento menor que 0,8 s e sem
    overshoo
55 % Sistema aumentado
56 A_aug = [A,zeros(2,1);
57          -C,0 ];
58
59 B_aug_u = [B; 0];
60 B_aug_r = [0; 0; 1];
61
62 C_aug = [C, 0];
63 D_aug = 0;
64
65 % Verifique a controlabilidade com respeito a B_aug_u
66 Co_aug = ctrb(A_aug, B_aug_u);
67 disp(['Posto da controlabilidade (A_aug,B_aug_u) = ', num2str
    (rank(Co_aug))]);
68
69 %% Escolha dos polos desejados
70 % Para rastreamento sem overshoot e tempo de estabelecimento
    < 0,8s,
71
72 p_desired_aug = [-10, -15, -20];
73
74 %% Calcular o vetor de ganhos [K, kI]
75 K_aug = place(A_aug, B_aug_u, p_desired_aug);
76 K = K_aug(1:2);
77 kI = K_aug(3);
78
79 disp('Ganhos encontrados:');
80 disp(['K = ', num2str(K), '], kI = ', num2str(kI)]);
81
82 %% Montar o sistema em malha fechada (com integrador)
83 A_cl = A_aug - B_aug_u * K_aug;
84 B_cl = B_aug_r;
85 C_cl = C_aug;
86 D_cl = 0;
87
88 sys_cl = ss(A_cl, B_cl, C_cl, D_cl);
89
90 %% Simulacao - Degrau de 105 rad/s
91 t = 0:0.01:5;
92 r = 105 * ones(size(t));
93
94 [y, ~, ~] = lsim(sys_cl, r, t);
95
96 figure;
97 plot(t, y, 'b', 'LineWidth', 2);
98 xlabel('Tempo (s)');
99 ylabel('Velocidade (rad/s)');

```

```

100 title('Rastreamento com Integrador - Degrau 105 rad/s');
101 grid on;
102
103 %% Simulaaco - Onda quadrada
104 r_sq = 105 * square(2*pi*1*t); % 1 Hz
105 [y_sq, ~, ~] = lsim(sys_cl, r_sq, t);
106
107 figure;
108 plot(t, y_sq, 'b', 'LineWidth', 2);
109 xlabel('Tempo (s)');
110 ylabel('Velocidade (rad/s)');
111 title('Rastreamento com Integrador - Onda Quadrada');
112 grid on;

```

2.5 Simulink

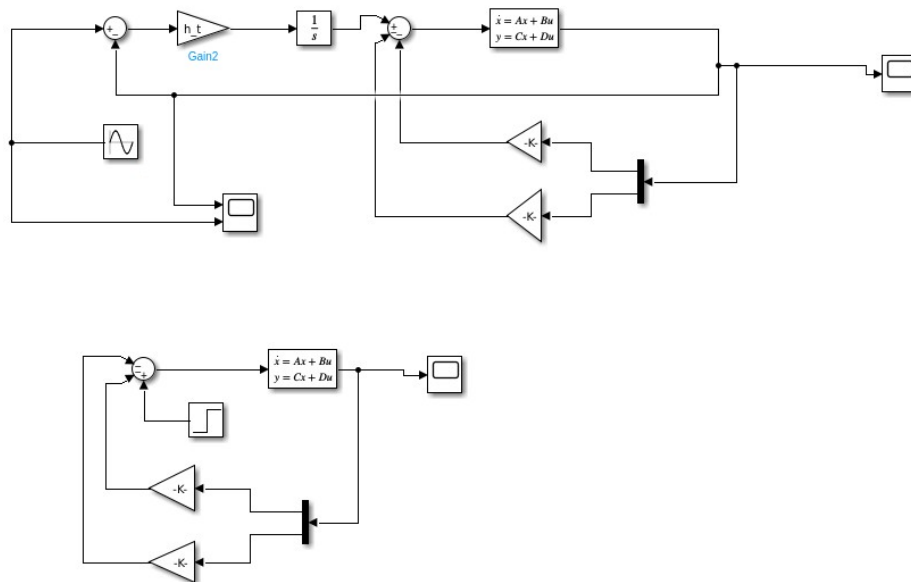


Figura 8: Diagrama no Simulink

3 Conclusão

Todo o processo de modelagem do sistema de controle em espaço de estados apresentou resultados esperados. Contudo, a modelagem por regulação mostrou-se inviável devido ao erro significativo em regime permanente na resposta ao degrau. Já o controlador por rastreo mostrou-se ideal, oferecendo uma resposta rápida e precisa tanto para uma entrada degrau quanto para outros tipos de entrada.